

تحلیل فرکانس سازه‌های پر عضو با استفاده از الگوریتم لانزووس و روش زیرسازه‌ها

علی کاوه
استاد

علی داوران
استادیار

دانشکده مهندسی عمران، دانشگاه علم و صنعت ایران

دانشگاه فنی، دانشگاه تبریز

چکیده

در این مقاله فرکانس‌ها و مودهای طبیعی ارتعاشی سازه‌های پر عضو با استفاده از روش زیرسازه‌ها و الگوریتم لانزووس محاسبه می‌شود. به منظور حفظ دقت جواب‌ها، یک مرحله مقام‌سازی مجدد به الگوریتم لانزووس اضافه شده است. علیرغم افزایش تعداد عملیات و حجم محاسبات، استفاده از این مرحله اضافی برای سازه‌های پر عضو ضروری است. با استفاده از این روش سازه‌هایی تا بزرگی ۱۵۰۰۰ درجه آزادی تحلیل گردیده است. صحت جواب‌ها با استفاده از نرم‌افزارهای موجود تأیید شده است.

Substructuring Dynamic Analysis of Large Scale Problems Using Lanczos Method

A. Davaran
Assistant Professor

Civil, Engineering Department
Technical Faculty, University of Tabriz

A. Kaveh
Professor

Civil, Engineering Department
University of Science and Technology

Abstract

In this paper, natural frequencies and modes of large scale structures are calculated using substructuring technique and Lanczos method. In order to preserve the accuracy of the results, a re-orthogonalization step is added to Lanczos original algorithm. This step is essential, though it increases the computational effort. The developed method is applied to structures with 15000 degrees of freedom. The accuracy of the results are compared with those of the existing softwares by imposing limitations on the size of the problems being considered.

مقدمه

سرعت و تغییر مکان‌ها در داخل هر یک از فواصل تقریب زده می‌شوند. با استفاده از تقریبات به کار رفته روش‌های متنوعی بوجود می‌آید، که نتیجه همه آنها تبدیل معادله دیفرانسیل حرکت به معادله نمای برحسب مقادیر شتاب و سرعت و تغییر مکان‌های ابتدا و فاصله زمانی است و در نهایت تغییر مکان‌های انتهایی فاصله محاسبه می‌شود. غالباً روش‌های تحلیل دینامیکی غیرخطی از این دست است. از معروف‌ترین روش‌های انگرال‌گیری مستقیم غبارتند از [2]:

- الف - روش بتای نیومارک.
- ب - روش بتای ویلسون.
- ج - روش تفاضلات میانی.

از بین روش‌های فوق، روش تفاضلات میانی با روش‌های دیگر تفاوت اساسی دارد. روش تفاضلات میانی یک روش صریح است و در هر فاصله زمانی نیازی به یافتن معکوس ماتریس سختی نیست. دو روش دیگر که ضمنی هستند معکوس کردن ماتریس سختی در هر گام ضرورت پیدا می‌کنند. طبقه‌بندی روش‌های حل معادلات حرکت در شکل ۱ ملاحظه می‌شود.

هدف از تحلیل دینامیکی یک سازه یافتن پاسخ سازه به تحریکات خارجی وابسته به زمان است. این تحریک ممکن است از نوع نیرو (t) f یا شتاب (t) \ddot{x} باشد. تحریک در حالت دوم که بیشتر در پدیده زلزله سازه‌های ساختمانی اتفاق می‌افتد، معمولاً از یک شتابنگاشت استخراج می‌شود. روش‌های تحلیل دینامیکی سازه‌ها به طور عمده بر دو دسته‌اند:

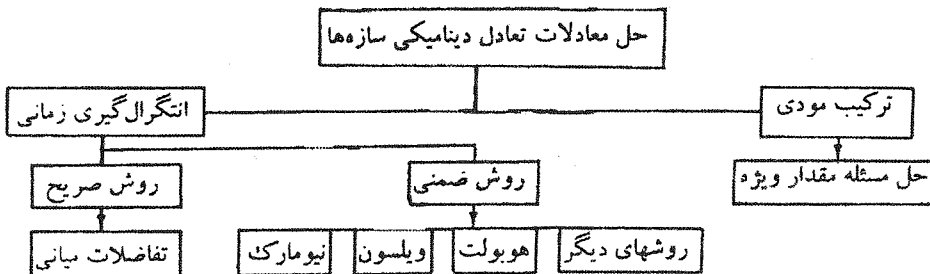
الف - روش‌هایی که حل مسئله مقدار ویژه را لازم می‌دارند، مراجع [1, 2].

ب - روش‌های انگرال‌گیری مستقیم زمانی که نیازی به حل مسئله مقدار ویژه ندارند، مرجع [3].

در روش‌های نوع «الف»، لازم است که مسئله مقدار ویژه خطی زیر حل شود:

$$(1) \quad KX = \omega^2 MX$$

روش‌های معروفی نظریه ترکیب مودها و روش تقریبی طیف پاسخ در رده «الف» قرار دارند. در روش‌های نوع «ب» فاصله زمانی تحریک اصلی به فواصل کوچک Δt تقسیم می‌شود و سپس شتاب و



شکل (۱) طبقه‌بندی روش‌های حل معادلات حرکت.

برای حل معادله در محدوده (الف) از روش مستقیم بسط دترمینان و حل معادله مشخصه استفاده می‌شود. در محدوده (ب) که در حافظه اصلی^۱ مسئله حل می‌شود، هر یک از روش‌های زیر قابل استفاده است:

- ۱ - روش ژاکوبی که ماتریس معادله را به فرم قطری در می‌آورد.
- ۲ - روش گیونس و هاووس هولدر که ماتریس معادله را به قطری می‌کند.

روش حل معادله مقدار ویژه (۱) بستگی به بزرگی سازه و تعداد درجات آزادی آن دارد و به طبقات زیر تقسیم می‌شود:

- الف - $0 < \text{ndof} \leq 10$
- ب - $10 < \text{ndof} \leq 250$
- ج - $250 < \text{ndof} \leq 1000$
- د - $1000 < \text{ndof} \leq 10000$
- ه - $\text{ndof} > 10000$

۲- روش لانزووس برای حل مسئله مقدار ویژه

مسئله مقدار ویژه تعمیم یافته زیر را در نظر می‌گیریم:

$$K\phi = \lambda M\phi \quad (2)$$

که در آن K و M ماتریس‌های سختی و جرم سازه بوده و زوج (λ, ϕ) مقدار ویژه و بردار ویژه هستند. در این روش بر روی معادله (۲) تبدیلات به گونه‌ای انجام می‌شود که ماتریس معادله تبدیل یافته سه قطری شود. فرق این روش با روش ژاکوبی آن است که در روش ژاکوبی تبدیل، جهت قطری کردن ماتریس صورت می‌گیرد.

با حل مسئله مقدار ویژه سه قطری شده و استفاده از خواص تبدیل می‌توان جواب‌های مسئله اصلی را تعیین نمود. تبدیلی که در این روش به کار می‌رود از نوع تبدیلات تعامدی است و اگر A یک ماتریس مربع باشد،

$$T = N^T A N; \quad NT = AN \quad (3)$$

واضح است که ماتریس مبدل N باید متعامد باشد،

$$N^{-1} = N^T \quad (4)$$

خواص مهم این نوع تبدیلات آن است که حافظ مقادیر ویژه ماتریس اولیه هستند و به شرح زیر می‌باشند [۵]،

$$Ax = \lambda x \quad (5)$$

$$Tx' = \lambda' x' \quad (6)$$

اگر رابطه تبدیل تعامدی بین A و T مطابق (۳) برقرار باشد، خواهیم داشت:

$$\lambda = \lambda' \quad (7)$$

$$x = Nx' \quad (8)$$

یافتن زوج (x', λ') ساده‌تر از یافتن زوج (x, λ) است. بعد از تعیین زوج (x', λ') از حل مسئله مقدار ویژه سه

۳- روش‌های تکرار نمایی از قبیل روش تکرار زیرفضا و روش لانزووس.

اگر بعد مسئله در محدوده (ج) باشد و در صورتی که نتوان مسئله را در حافظه اصلی حل کرد، باید از روش‌های زیرسازه‌ها و یا سایر روش‌های متراکم‌سازی^۲ استفاده نمود، مراجع [۷-۱۰]. بسیاری از مسائل عملی در محدوده (د) قرار می‌گیرند. در این حالت، مسئله را نمی‌توان در حافظه اصلی (فعال) حل نمود و استفاده از روش زیرسازه‌ها ضروری می‌گردد. در مقاله حاضر نیز در این محدوده عمل خواهد شد. روش انتخاب شده در این محدوده به نحوه انبارسازی ماتریس‌های پرصفرا K و M بستگی دارد و بیشتر روش‌های حل از نوع ۲ یعنی تکرار نمایی هستند.

مشخصه اصلی این روش‌ها، حل مکرر دستگاه معادلات خطی با ماتریس ضرایب بزرگ، پرصفرا و نواری است. در این روش‌ها ماتریس ضرایب ثابت بوده و طرف ثانی به تعداد دفعات تکرار، تغییر و اصلاح می‌شوند.

خارج از محدوده (د) یعنی در محدوده (ه)، مسائل به گونه‌ای هستند که تحلیل آنها غالباً نیاز به ابر کامپیوتر پیدا می‌کند. البته حل مسئله در یک گام برای این دستگاه‌های پیشرفته نیز توصیه نمی‌شود و معمولاً با استفاده از روش زیرسازه‌ها مسئله مورد بررسی قرار می‌گیرد. اگر از چندین پردازنشگر به صورت موازی استفاده شود، در این صورت نیز روش زیرسازه‌ها اساس کار خواهد بود. روش تکرار زیرفضا برای حالتی که تعداد مقادیر ویژه خواسته شده خیلی کمتر از ndof باشد، مناسب است و با افزایش تعداد مقادیر ویژه از مزایای آن کاسته می‌شود.

روش معروف لانزووس^۳ نیز از نظر تعداد عملیات و سادگی آن، به روش تکرار زیرفضا ارجحیت دارد. عیب اصلی این روش خدشه دار شدن خاصیت تعامد برداری است، به طوری که به یک مرحله اضافی متعامدسازی مجدد نیاز خواهد داشت، مرجع [۴].

نتیجه مهم اینکه همه روش‌های حل مسائل مقدار ویژه سازه‌های پرالمان، به حل دستگاه معادلات خطی بزرگ منجر می‌شود. لذا باید از روشی استفاده نمود که ضمن مؤثر بودن از خواص الگوی ماتریس‌ها به خوبی استفاده شده باشد. در این الگوریتم طرف ثانی در هر تکرار عوض می‌شود، لذا بکارگیری روش حل تکراری معادلات توصیه نمی‌شود.

$$T = X^T A M X$$

$$T = X^T (M K^{-1} M) X \quad (14)$$

اگر زوج (Y, λ') زوج ویژه برای T باشد،

$$TY = \lambda' Y \quad (15)$$

با پیش ضرب طرفین رابطه (15) در (MX) داریم:

$$(MX) TY = \lambda' (MX) Y \quad \text{و یا}$$

$$A (MX) Y = \lambda' (MX) Y$$

$$MK^{-1} M (XY) = \lambda' M (XY) \quad (16)$$

اگر رابطه (16) نظیر به نظری با رابطه (9) متحدد گردد، روابط زیر نتیجه می‌شود:

$$\lambda' = \frac{1}{\lambda}; \phi = XY \quad (17)$$

۳- الگوریتم لانزووس

دسته بردار M - متعامد X را باید به گونه‌ای تعیین نمود که ماتریس $A = MK^{-1}$ را به ماتریس سه قطربندی کند، به طوری که:

$$(MX) T = A (MX); X^T MX = I$$

$$X = [x_1, x_2, \dots, x_n] \quad (18)$$

که در آن $i = 1, \dots, n$, x_i بردارهای لانزووس نامیده می‌شوند.

$$M [x_1, x_2, \dots, x_n] T = AM [x_1, x_2, \dots, x_n] \quad (19)$$

ماتریس T را به فرم زیر در نظر می‌گیریم.

$$T = \begin{bmatrix} \alpha_1 & \beta_1 \\ \beta_1 & \alpha_2 & \beta_2 \\ & \beta_2 & \alpha_3 & \beta_3 \\ & & \ddots & \\ & & & \beta_{n-2} & \alpha_{n-1} & \beta_{n-1} \\ & & & & \beta_{n-1} & \alpha_n \end{bmatrix} \quad (20)$$

۱۰۷

قطربندی شده (6)، به وسیله روابط (7) و (8) زوج (λ, x) تعیین می‌شود.

بنابراین گام‌های اصلی الگوریتم لانزووس برای مسئله مقدار ویژه (5) به شرح زیر است:

الف - یک تبدیل تعامدی باید تهیه نمود که ماتریس A را به فرم سه قطربندی T تبدیل کند.

ب - به روش‌های مختلف از قبیل روش ڈاکوبی با خواص رشتہ‌های اشتirm مسئله مقدار ویژه (6) را باید حل نمود.

ج - جواب مسئله مقدار ویژه (5) توسط روابط (7) و (8) تعیین می‌شود. روش لانزووس برای حل مسئله مقدار ویژه (2) روندی مشابه (الف) تا (ج) دارد. معادله (2) را می‌توان به فرم زیر نوشت:

$$\left(\frac{1}{\lambda}\right) M\phi = MK^{-1} M\phi \quad (9)$$

اگر فرض شود،

$$A = MK^{-1}; u = M\phi \quad (10)$$

در این صورت

$$Au = \left(\frac{1}{\lambda}\right) u \quad (11)$$

بدین ترتیب مسئله (2) به فرم استاندارد (11) تبدیل می‌گردد. در روش لانزووس هدف یافتن دسته بردارهای متعامد نسبت به M است به گونه‌ای که ماتریس تبدیل شده T ، سه قطربندی باشد. این تبدیل به فرم زیر است:

$$(MX). T = A. (MX) \quad (12)$$

$$X^T MX = I \quad (13)$$

پس الگوریتم لانزووس دسته بردارهای (MX) و ماتریس سه قطربندی T را طوری تعیین می‌کند که روابط (12) و (13) برقرار باشند.

قبل از اینکه نحوه تهیه الگوریتم شرح داده شود، ارتباط بین مسئله مقدار ویژه ماتریس‌های A و T را باید تعیین نمود. با توجه به روابط (12) و (13) داریم:

$$\alpha_i = x_i^T M K^{-1} M x_i \quad (28)$$

در محاسبات عملی چون معکوس سازی ماتریس سختی K ، مناسب نیست، از عملیات واسطه زیر استفاده می شود:

$$K^{-1} M x_i = \bar{x}_i$$

$$K \bar{x}_i = M x_i \quad (29)$$

پس از حل دستگاه معادلات خطی (29) و تعیین بردار واسطه \bar{x}_i خواهیم داشت:

$$\alpha_i = \bar{x}_i^T M x_i \quad (30)$$

و برای تعیین β_i و x_{i+1} داریم:

$$(M x_{i+1}) \beta_i = M \bar{x}_i - \alpha_i (M x_i) - \beta_{i-1} (M x_{i-1}) \quad (31)$$

$$Z_{i+1} = \beta_i x_{i+1} = \bar{x}_i - \alpha_i x_i - \beta_{i-1} x_{i-1} \quad (32)$$

با نرمالیزه کردن Z_{i+1} نسبت به M ، ضریب β_i و در نتیجه x_{i+1} به دست می آید:

$$Z_{i+1}^T M Z_{i+1} = \beta_i^2$$

$$\beta_i = (Z_{i+1}^T M Z_{i+1})^{1/2} \quad (33)$$

$$x_{i+1} = \frac{1}{\beta_i} Z_{i+1} \quad (34)$$

۴- الگوریتم لانزووس با متعامد سازی مجدد

در بخش قبلی ملاحظه گردید که با اجرای مکرر روابط (28) الی (34) می توان تبدیل تعمادی (12) را تهیه نمود. مهمترین عیب روش لانزووس از دست رفتن تدریجی تعماد بردارهای x_i است. برای ماتریس های بزرگ که نسبت $\left|\frac{\lambda_1}{\lambda_n}\right|$ آنها بزرگ است، به علت ایجاد خطای ناشی از گردکردن در هر تکرار، شرط تعماد ماهیت روش لانزووس به گونه ای است که خطای گرد نمودن در هر تکرار تشدید می شود و در نتیجه مقدار ویژه ای که از روش اصلی لانزووس به دست می آید، قابل اعتماد نخواهد بود.

از بسط دادن سطر به سطر معادله (19)، الگوریتم لانزووس به دست می آید. برای این کار لازم است که یک بردار اولیه آزمون x_1 به دلخواه اختیار شود. از بسط دادن سطر $i = 1$ داریم:

$$(M x_1) \alpha_1 + (M x_2) \beta_1 = (A M) x_1 \quad (21)$$

و شرط تعامد باید برقرار باشد:

$$x_1^T M x_1 = 1; x_1^T M x_2 = 0$$

بنابراین اگر طوفین (21) را x_1^T پیش ضرب کنیم،

$$\alpha_1 = x_1^T A M x_1 = x_1^T M K^{-1} M x_1 \quad (22)$$

$$(M x_2) \beta_1 = A M x_1 - \alpha_1 M x_1 \quad (23)$$

طرف راست (23) معلوم است. بدین ترتیب α_1 و β_1 از نرمالیزه کردن طرف راست (22) به سادگی تعیین می شوند.

$$M(x_2 \beta_1) = M(K^{-1} M x_1) - M(\alpha_1 x_1)$$

$$Z_2 = \beta_1 x_2 = K^{-1} M x_1 - \alpha_1 x_1 = \text{(مقدار معلوم)}$$

$$Z_2^T M Z_2 = \beta_1^2 x_2^T M x_2 = \beta_1^2$$

$$\beta_1 = (Z_2^T M Z_2)^{1/2} \quad (24)$$

$$x_2 = \frac{1}{\beta_1} Z_2 \quad (25)$$

حال سطرهای $n = 2, \dots, n-1$ از بسط داده می شود. از سطر اتم خواهیم داشت:

$$M x_{i-1} \beta_{i-1} + M x_i \alpha_i + M x_{i+1} \beta_i = A M x_i \quad (26)$$

β_{i-1} و x_i از بسط سطر (1-i) ام تعیین شده اند، بنابراین با پیش ضرب معادله (26) در X_i^T و شرط تعامد خواهیم داشت:

$$\alpha_i = x_i^T A M x_i \quad (27)$$

اگر بعد مسئله بزرگ باشد، ($\text{nodf} > 1000$)، در این صورت با تعداد کمی تکرار لانزووس ($\text{ndof} \ll k$)، می‌توان مقادیر ویژه انتهاي را با دقت قابل قبول محاسبه کرد. بحث همگرایی روش اخیر در منابع گوناگونی آمده است، مرجع [6].

۵- ترکیب الگوریتم لانزووس با روش زیرسازه‌ها

همانگونه که قبلاً اشاره شد، پرچم ترین بخش محاسبه مقادیر ویژه مربوط به حل معادلات خطی (۲۹) می‌باشد. این معادله را با روش زیرسازه‌ها می‌توان حل نمود، مراجع [۱۰ - ۷]. هر بردار لانزووس نسبت به زیرسازه‌ها تفکیک می‌گردد و برای هر زیرسازه Mx_i جداول حساب می‌شود، در حقیقت خواهیم داشت،

$$M x_i = [M_1 x_1^1; M_2 x_2^1; \dots; M_{NP} x_N^1] \quad (27)$$

اساسی‌ترین مرحله در الگوریتم لانزووس حل معادله خطی (۲۹) است، که با استفاده از روش زیرسازه‌ها انجام می‌گیرد. در روش زیرسازه‌ها ماتریس K برای کل سازه تشکیل نمی‌شود و به جای آن از ماتریس‌های سختی زیرسازه‌ها استفاده به عمل می‌آید. تنها تقاضت با تحلیل استاتیکی سازه مربوط به طرف ثانی معادلات است. در اینجا بردار Mx_i به جای نیروهای گرهی خارجی در طرف ثانی معادلات خطی قرار خواهد گرفت. این بردار در هر تکرار لانزووس تغییر یافته و معادلات در هر تکرار حل می‌شوند. بنابراین شرط بهینگی تحلیل فرکанс سازه‌های پرعضو بستگی به حل معادلات خطی خواهد داشت که به روش زیرسازه‌ها انجام می‌گیرد. پس از محاسبه x_i ، سهم α_i در هر زیرسازه حساب شده و باهم جمع می‌شود:

$$\alpha_i = \sum_{i=1}^{NP} \alpha_i \quad (28)$$

Z_{i+1} با استفاده از معادله (۳۲) در هر زیرسازه حساب می‌گردد و سپس دوباره نسبت به بردارهای قبلی متuumad می‌شود و Z'_{i+1} نتیجه می‌گردد. سهم β_i تک تک زیرسازه‌ها با هم جمع می‌شود:

$$\beta_i = \sum_{i=1}^{NP} \beta_i \quad (29)$$

برای اصلاح الگوریتم اصلی می‌باشد بردار x_{i+1} در مرحله نام نسبت به x_1, x_2, \dots, x_i متuumad نمود. با این اصلاح نتیجه الگوریتم کاملاً رضایت‌بخش خواهد بود. البته باید یادآور شد که این مرحله اضافی توام با n^3 عملیات اضافی است که در نتیجه موجب افزایش حجم محاسبات می‌شود. لیکن در حل نسبی مسئله مقدار ویژه که هدف یافتن بخشی از مقادیر ویژه است، استفاده از روش لانزووس اصلاح شده کاملاً رضایت‌بخش است. همانگونه که در طی بررسی مثال‌ها نیز مشاهده شده است، برای حل یک مسئله مقدار ویژه $\text{ndof} = 6000$ فقط ۱۰ تا ۱۵ تکرار لانزووس برای تعیین ۴ مقدار ویژه اول دارای دقت کافی است. نتیجه حاصل از ۱۵ بار تکرار لانزووس یک ماتریس سه قطری 15×15 و تولید ۱۵ بردار متuumad می‌باشد.

برای اجرای مرحله اضافی متuumadسازی مجدد، پس از محاسبه Z'_{i+1} از رابطه (۳۲) به صورت زیر عمل می‌شود:

$$Z'_{i+1} = Z_{i+1} - P_1 x_1 - P_2 x_2 - \dots - P_i x_i \quad (25)$$

Z'_{i+1} بردار اصلاح شده نظیر Z_{i+1} است. P_1, P_2, \dots, P_i به ترتیب تصاویر بردار Z_{i+1} روی بردارهای x_1, \dots, x_i می‌باشد. به طوری که،

$$P_i = x_i^T M Z_{i+1} = Z_{i+1}^T M x_i \quad (26)$$

در انتهای این بخش گام‌های اصلی الگوریتم لانزووس جهت تکمیل بحث به قرار زیر بیان می‌شود:

الف - انتخاب یک بردار آزمون اولیه دلخواه، [ممکن‌آراز بردار $(0, 1, 0, \dots, 0)^T$] استفاده به عمل می‌آید.]

ب - یک حلقه به تعداد تکرارهای لانزووس، k ، ایجاد می‌شود. ($i = 1, k$)

ج - با حل معادلات خطی (۲۹)، \bar{x}_i محاسبه می‌گردد.

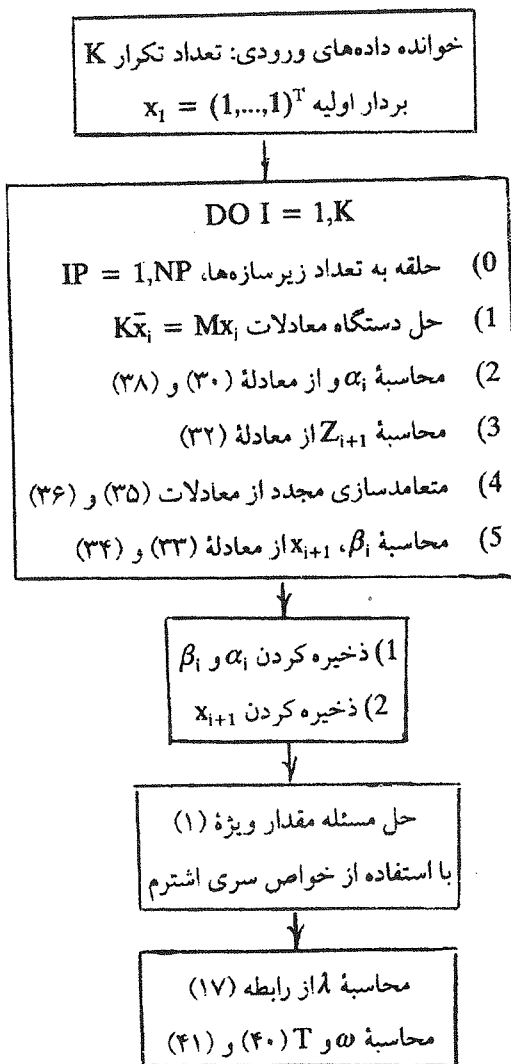
د - از رابطه (۳۰) تعیین می‌گردد.

ه - از Z_{i+1} از رابطه (۳۲) به دست می‌آید.

و - Z_{i+1} با استفاده از رابطه (۲۵) به بردارهای قبلی لانزووس متuumad می‌شود. (Z'_{i+1}).

ز - Z_{i+1} با Z'_{i+1} جایگزین شده و نسبت به M نرمالیزه می‌شود. سپس با استفاده از روابط (۳۲) و (۳۴) $x_i \beta_i$ و $x_{i+1} \beta_i$ نظریه مرحله نام به دست می‌آیند.

ح - حلقه ($i = 1, k$) ادامه می‌یابد.



شکل (۳) روند کلی برنامه کامپیوتري تعیین مقادير ویژه.

پس از محاسبه فرکانس های اصلی، مودهای نظیر هر فرکانس به دست می آید. برای این منظور از برنامه کامپیوتري Modes.exe استفاده می شود. عملکرد این برنامه در شکل ۴ نشان داده شده است.
A. برنامه نگاشت مسئله روی زیردامنه ها
MAP. EXE

این برنامه خصوصیات و اطلاعات هندسی و فیزیکی کل دامنه را روی زیردامنه ها می نگارد و جرم های گرمی در شماره گذاری جدید هر زیرسازه تعیین می شود.
B. برنامه تولید ماتریس های سختی اعضای اسکلتی و کاهش معادلات FR.EXE است.
C. برنامه تولید ماتریس های سختی المان های

و در آخرین مرحله هر تکرار بردار x_{i+1} تعیین می شود.

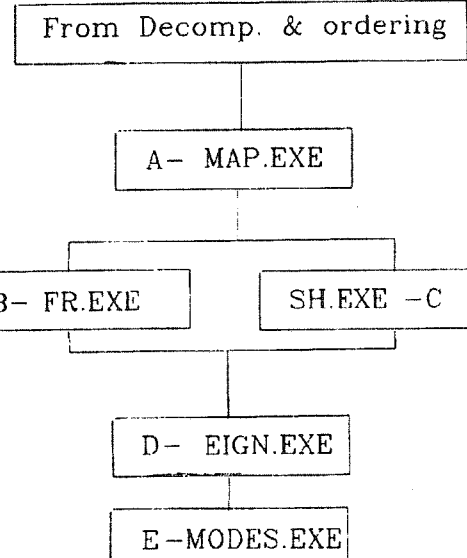
بعد از اینکه ماتریس سه قطری T_K (بعد از K مرتبه تکرار لانزووس) تشکیل شد، از روش سری های اشتروم می توان مقادیر ویژه T_K را تعیین نمود و همچنین با معلوم شدن هر مقدار ویژه بردار ویژه نظری آن مقدار حساب می شود. استفاده از معادلات (۱۷)، زوج (λ, ϕ) و (۲) خواهیم داشت:

$$\lambda = \frac{1}{\lambda'} ; \lambda = \omega^2 ; \omega = (\lambda)^{1/2} \quad (40)$$

$$T = \frac{2\pi}{\omega} \quad (41)$$

که در آن T . زمان تناوب طبیعی سازه می باشد معمولاً محاسبه ۴ یا ۵ زمان تناوب اولیه سازه برای محاسبه پاسخ دینامیک سازه ها به تحریکات زمین لرزه و باد کافی است.

شکل (۲) روند کلی حل مسئله مقدار ویژه را با استفاده از زیرسازه ها نشان می دهد.



شکل (۲) روند کلی حل مسئله مقدار ویژه با استفاده از زیرسازه ها.

روند کلی برنامه کامپیوتري EIGN. EXE در شکل ۲ دیده می شود [۱۲].

بارهای گرهی در روی شکل مشخص است.

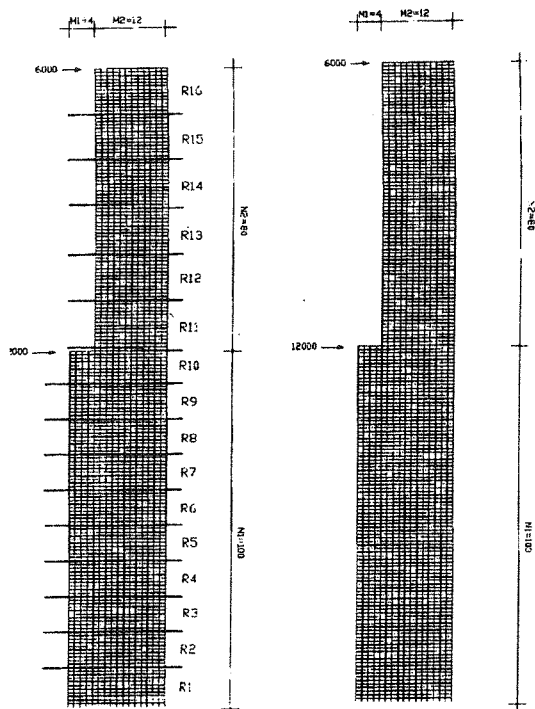
خواص ستون ها:

$$A = 100 \text{ cm}^2 \quad A_s = 100 \text{ cm}^2 \quad I_z = 12000 \text{ cm}^4$$

خواص تیرها:

$$A = 60 \text{ cm}^2 \quad A_s = 60 \text{ cm}^2 \quad I_z = 8000 \text{ cm}^4$$

سازه با استفاده از روش تنصیف طیفی بازگشتی به $NP = 16$ قسمت افزایش شده است، و فرکانس های طبیعی آن تعیین گردیده اند.



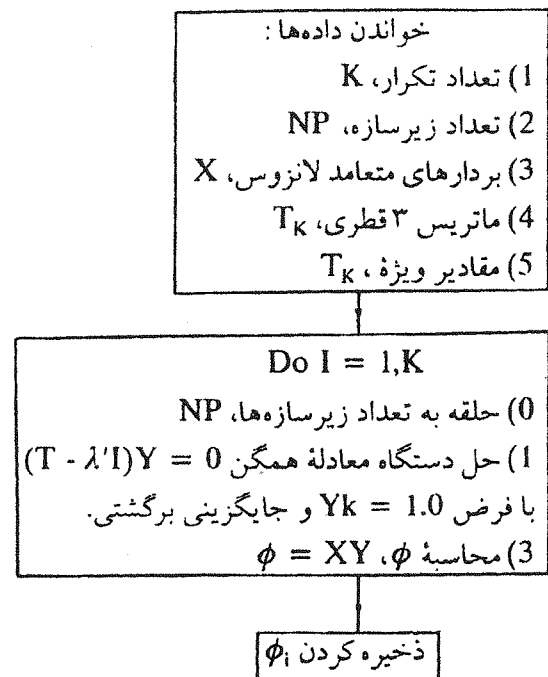
شکل (۵) سازه قاب صلب و زیرسازه های افزایش شده مربوط به مثال ۱ - ۶.

چهار فرکانس طبیعی اول سازه در جدول ۱ - ۶ خلاصه شده است.

۱ - ۶ . یک گنبد خرپایی فضاکار در شکل ۶ ملاحظه می شود. شعاع کرده این گنبد ۱۰ متر است و یک اندازه ۳ واحد (مداری) می باشد. کلیه گره های این گنبد دارای جرم $m_z = 10 \text{ Kg}$ و $m_x = m_y = 0$ می باشند. بارهای گرهی بر محیط دایره بازشوی گنبد مطابق شکل ۷ اثر می نماید. مشخصات هندسی - فیزیکی اعضاء مشابه مثال ۲ - ۶ است. تکیه گاه های این گنبد مفصلی ثابت بوده و بر خارجی ترین مدار گنبد واقع می باشند. این گنبد به $NP = 4$ قسمت افزایش شده است و ۴ فرکانس طبیعی اول این گنبد تعیین گردیده است.

محدود تنش و کرنش مسطح و خمش صفحات نیمه کلفت SH-EXE.

D. برنامه حل مسئله مقدار ویژه و تعیین پریودهای طبیعی EIGN.EXE این برنامه بر مبنای مطالب ذکر شده در بخش های قبلی طرح ریزی شده و مسئله مقدار ویژه (۱) و (۲) را حل می کند. اساس کار آن ترکیب دو روش زیرسازه ها و روش لانزووس است، که به آن مرحله متعامد سازی مجدد اضافه شده است.



شکل (۴ - ۵) روند کلی برنامه کامپیوتري MODES.EXE.

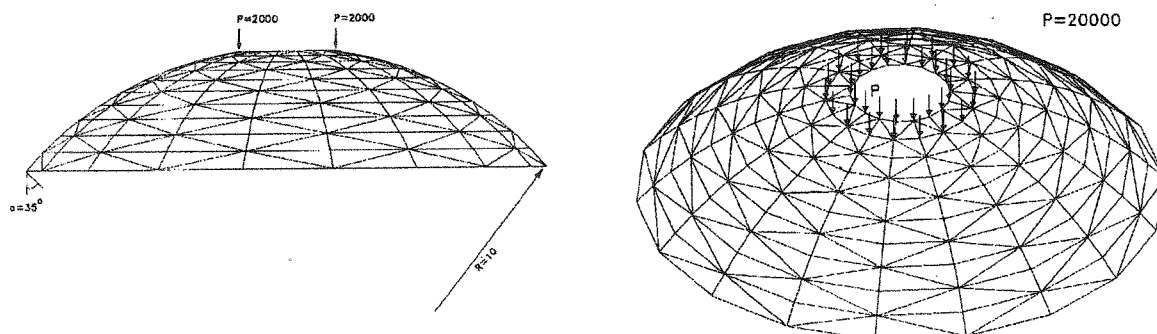
۶- مثال های عددی

در این بخش صحت روش پیشنهادی در طی سه مثال نشان داده شده است. برای افزایش سازه روش های متنوعی وجود دارد، [11]. در این مثال ها از روش تنصیف طیفی بازگشتی^۷ استفاده شده است.

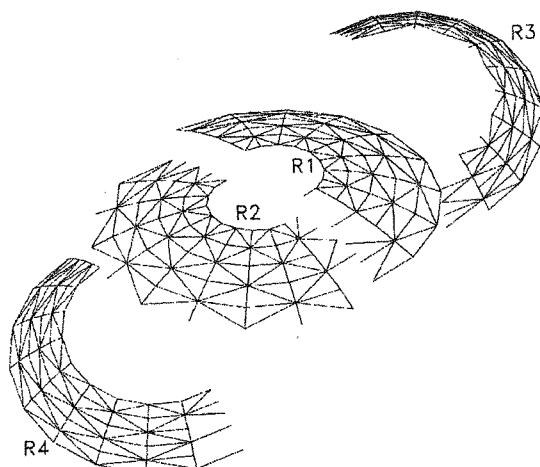
۱ - ۶ . یک قاب صلب مستوی مطابق شکل ۵ در نظر گرفته می شود. این قاب حاوی ۱۸۰ طبقه و ۱۶ دهانه است که از طبقه ۱۰ تا ۱۸۰ یک عقب نشینی در عرض ساختمان دارد. ارتفاع کلیه طبقات ۳ متر و طول دهانه ها ۵ متر می باشد. پای ستون ها در طبقه اول گیردار بوده و کلیه گره های دارای جرم های انتقالی $m_z = 500 \text{ Kg}$ و $m_x = m_y = 50 \text{ Kgm}^2$ می باشند. محدود الاستیک و مدول برشی مصالح به ترتیب $G = 4 \times 10^9 \text{ Kg/m}^2$ و $E = 2.1 \times 10^{10} \text{ Kg/m}^2$ است. مقادیر

جدول (۱) زمان های تنوب طبیعی سازه (مثال ۱ - ۶) با $NJ = 12$ تکرار.

شماره مود اصلی	ESTR روش حاضر،	SAP 90	اختلاف %
1	33.34395 sec.	-	-
2	12.176225 sec.	-	-
3	6.45626 sec.	-	-
4	4.510935 sec.	-	-



شکل(۶) یک گنبد فضاکار مربوط به مثال ۲ - ۶.



شکل (۷) ادامه زیرسازه های افزای شده گنبد.

۳-۶. یک دامنه دو بعدی الاستیک به دو صورت یک بار با المان مثلثی پوشانده شده است. (شکل ۸ را ملاحظه کنید). شرایط مسطح در این مسئله حاکم است و ضخامت صفحه 10 cm باشد.

مدول الاستیک $E = 1 \times 10^6 \text{ Kg/m}^2$ و ضریب پواسن $\nu = 0.30$ می باشد. جرم های مرتمرکز گرهی برای کلیه گره ها برابر با $mx = my = 100 \text{ Kg}$ است.

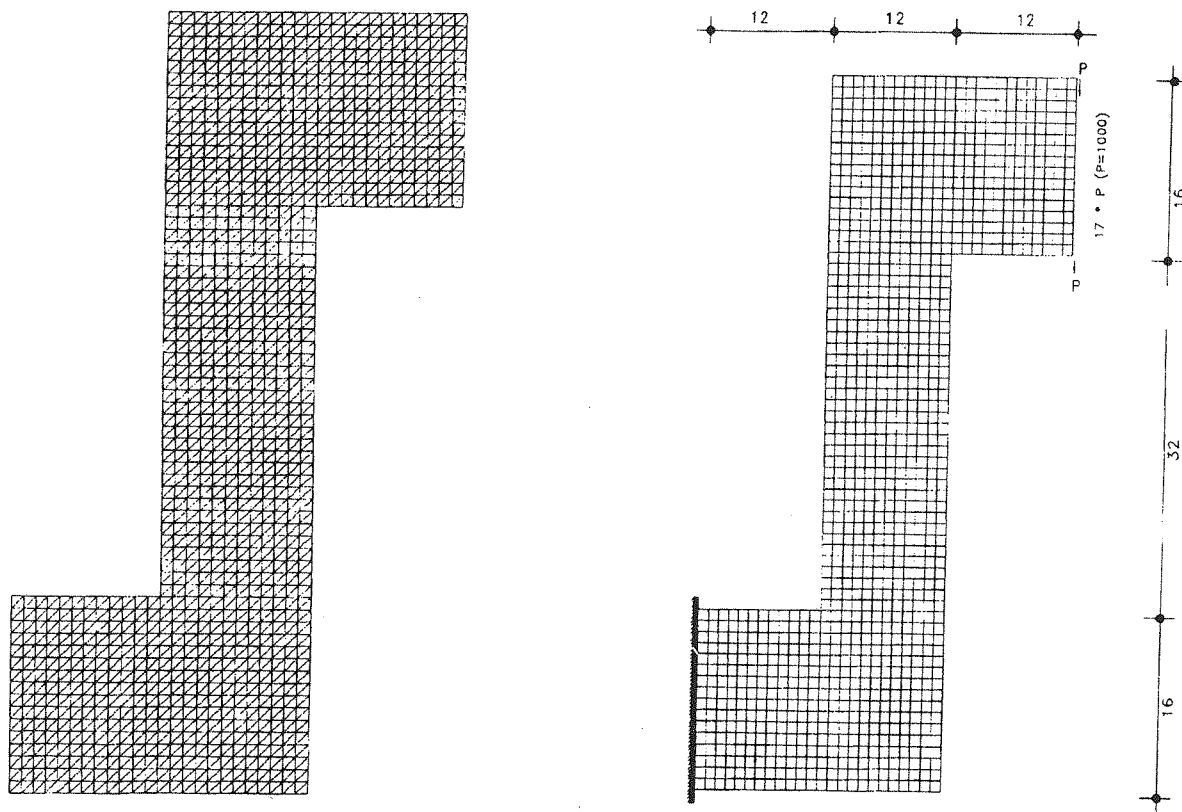
این دامنه به $NP = 4$ قسمت افراد شده و ۴ فرکانس طبیعی اول سازه محاسبه گردیده است.

۴ فرکانس طبیعی این گنبد در جدول ۲ خلاصه شده است. زیر دامنه های افراد شده در شکل های ۹ ملاحظه می شود.

۴ فرکانس طبیعی اول با $NJ = 14$ تکرار لانزووس برای المان مثلثی در جدول ۳ دیده می شود.

جدول (۲) زمان های تناوب طبیعی سازه (مثال ۲ - ۶) با $\Delta = 14$ تکرار.

شماره مود اصلی	ESTR	SAP 90	اختلاف %
1	125.569773	125.506174	-5.0×10^{-2}
2	109.249352	109.208260	-3.8×10^{-2}
3	109.249280	109.208122	-3.8×10^{-2}
4	71.937044	71.925753	-1.6×10^{-2}



شکل (۸) یک دامنه الگان محدود مربوط به مسئله تنش مسطح مثال ۳-۶ با الگان مثلثی.

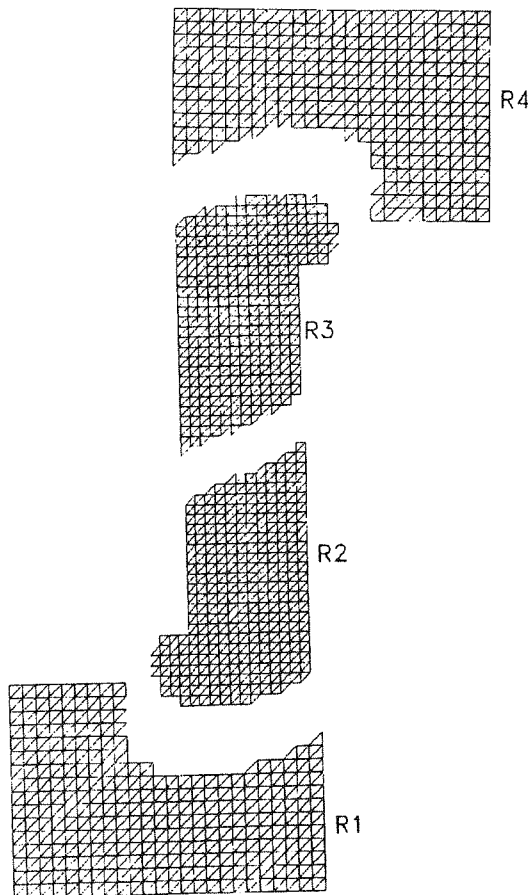
نتایج

در این مقاله روش لانزووس با روش زیرسازه‌ها ترکیب شده است. با استفاده از ترکیب این دو روش، تحلیل فرکانس سازه‌های پر عضو انجام پذیرفته است. با توجه به از دست رفتن تعامل بردارهای لانزووس که یکی از معایب اصلی این روش است، از مرحله متعامدسازی مجدد استفاده شده است. علی‌رغم افزایش تعداد عملیات و حجم محاسبات استفاده از این مرحله در تحلیل فرکانس سازه‌های پر عضو ضروری است.

مثال‌هایی از سازه‌های پر عضو (تا ۱۵۰۰ درج آزادی) با این روش تحلیل گردیده و فرکانس‌های ارتعاشی اصلی آنها تعیین شده است. صحت جواب‌ها برای مثال‌هایی با بزرگی متوسط (تا ۸۰۰ درجه آزادی) با نرم افزارهای دیگر مقایسه و کنترل شده است.

زیرنویس‌ها

- 1 - Core
- 2 - Lumping
- 3 - Lanczos
- 4 - Sturm
- 5 - M - orthogonal
- 6 - Re - Orthogonalization
- 7 - Recursive Spectral Bisection



شکل (۹) زیردامنهای افزایش شده برای المان مثلثی.

جدول (۳) زمان‌های تناوب طبیعی سازه (مثال ۳-۶) با $NJ = 14$ توار.

شماره مود اصلی	ESTR	SAP 90	اختلاف %
1	84.878837	84.167505	-0.8
2	17.534477	17.420470	-0.7
3	14.638922	14.506785	-0.9
4	5.456194	5.414236	-0.8

مراجع

- [1] R. W. Clough and J. Penzien, *Dynamic of Structures*, McGraw-Hill, 1975.
- [2] C. B. Warburton, *The Dynamic Behaviour of Structures*, Second ed., Pergamon, 1976.
- [3] K. J. Bathe and E.L. Wilson, *Numerical Methods in Finite Element Analysis*, Prentice-Hall, 1976.
- [4] I.W. Lee and G.H. Jung, A Combination of the Lanczos Algorithm with the Substructure Technique, *Journal of Sound and Vibration*, 607-617, 1995.
- [5] A. Jennings and J.J. McKeown, *Matrix Computation*, John Wiley, 245-261, 1992.
- [6] J. H. Wilkinson, *The Algebraic Eigenvalue Problem*, Clarendon Press, Oxford, 1965.
- [7] J. S. Przemieniecki, *Matrix Structures Analysis of Substructures*, AIAA Journal, 1, No. 1, 138-147, 1963.
- [8] A. Kaveh, *Structural Mechanics: Graph and Matrix Methods*, Research Studies Press, John Wiley and Sons Inc., 2nd edition, UK 1995.
- [9] J.J. Azar, *Matrix Structural Analysis*, Pergamon Press, 1966.
- [10] R. K. Livesley, *Matrix Methods of Structures Analysis*, Pergamon Press, 1986.
- [11] A. Kaveh, *Optimal Structural Analysis*, RSP (John Wiley), UK 1997.
- [12] A. Davaran, *Linear and Non-linear Analysis of Large Scale Structures Using Graph Theory, Parallel Processing and Neural Networks*, Ph.D. thesis, Iran University of Science and Technology, Iran, 1998.